

# SUMATORY WIELOARGUMENTOWE

## Prawa łączności i przemienności dodawania

$$a+b+c+d+e+f+g+h+i+\dots = \{[(a+b)+(g+h)]+[(e+f)+(c+d)]\}+\{[(i+\dots$$

$$a+b+c+d+e=((a+b)+c)+d)+e=((c+e)+b)+d)+a=\dots$$

### Prawo łączności dodawania w systemie pozycyjnym

$$A+B+C+\dots = \sum_{i=-m}^{k-1} a_i \beta^i + \sum_{i=-m}^{k-1} b_i \beta^i + \sum_{i=-m}^{k-1} c_i \beta^i + \dots = \sum_{i=-m}^{k-1} (a_i + b_i + c_i + \dots) \beta^i$$

### Suma argumentów jednocyfrowych jest wielocyfrowa (w zapisie pozycyjnym):

$$a_i + b_i + c_i + \dots = u_i^{(m)} \beta^m + \dots + u_i^{(2)} \beta^2 + u_i^{(1)} \beta + u_i^{(0)}$$

- suma **wielocyfrowa**  $\{u_i^{(m-1)}, \dots, u_i^{(2)}, u_i^{(1)}, u_i^{(0)}\}$  w kolumnie cyfr o ustalonej wadze ma wagę taką jak waga pozycji (kolumny), a jej rozmiar jest logarytmicznie zależny od liczby argumentów  $n$  ( $m = \lceil \log_\beta n \rceil$ )

### Łączność i przemienność dodawania w systemie pozycyjnym

$$X^{(1)} + X^{(2)} + \dots + X^{(k)} = \sum_{p=1}^k \sum_{i=-q}^{n-1} x_i^{(p)} \beta^i = \sum_{i=-q}^{n-1} \beta^i \sum_{p=1}^k x_i^{(p)} = \sum_{i=-q}^{n-1} \beta^i \left( \sum_{r=0}^m u_{i-r}^{(r)} \beta^r \right)$$

## Dodawanie wieloargumentowe jednopozycyjne w systemach naturalnych

$$x_i^{(1)} + x_i^{(2)} + x_i^{(3)} + \dots + x_i^{(n)} = u_i^{(m)} \beta^m + \dots + u_i^{(2)} \beta^2 + u_i^{(1)} \beta + u_i^{(0)}, \text{ gdzie } x_i^{(j)}, u_i^{(j)} \in \{0, 1, \dots, \beta - 1\}$$

Aby suma była najwyżej  $m$ -cyfrowa liczba składników  $k$  musi spełniać warunek:

$$\sum_{j=1}^k x_i^{(j)} \leq \sum_{j=1}^k (\beta - 1) = k(\beta - 1) \leq \beta^m - 1, \text{ gdzie } 0 \leq x_i^{(j)} \leq \beta - 1$$

$$\text{czyli } k \leq (\beta^m - 1) / (\beta - 1) = \beta^{m-1} + \beta^{m-2} + \dots + \beta + 1 = 11\dots 11_\beta$$

dodawanie można wykonać dwuetapowo:

- obliczyć wielopozycyjne sumy przejściowe (w dowolnej kolejności)
- dodać liczby wielocyfrowe skomponowane z sum przejściowych

→ jeśli liczba składników jest  $\leq \beta + 1$ , to suma jest dwucyfrowa i wynosi

$$\{v_{i+1}, u_i\} = \{r, x_i^{(1)} + x_i^{(2)} + \dots + x_i^{(\beta+1)} - r\beta\} \text{ gdy } 0 \leq x_i^{(1)} + x_i^{(2)} + \dots + x_i^{(\beta+1)} - r\beta < \beta$$

## Dodawanie wieloargumentowe w systemach naturalnych

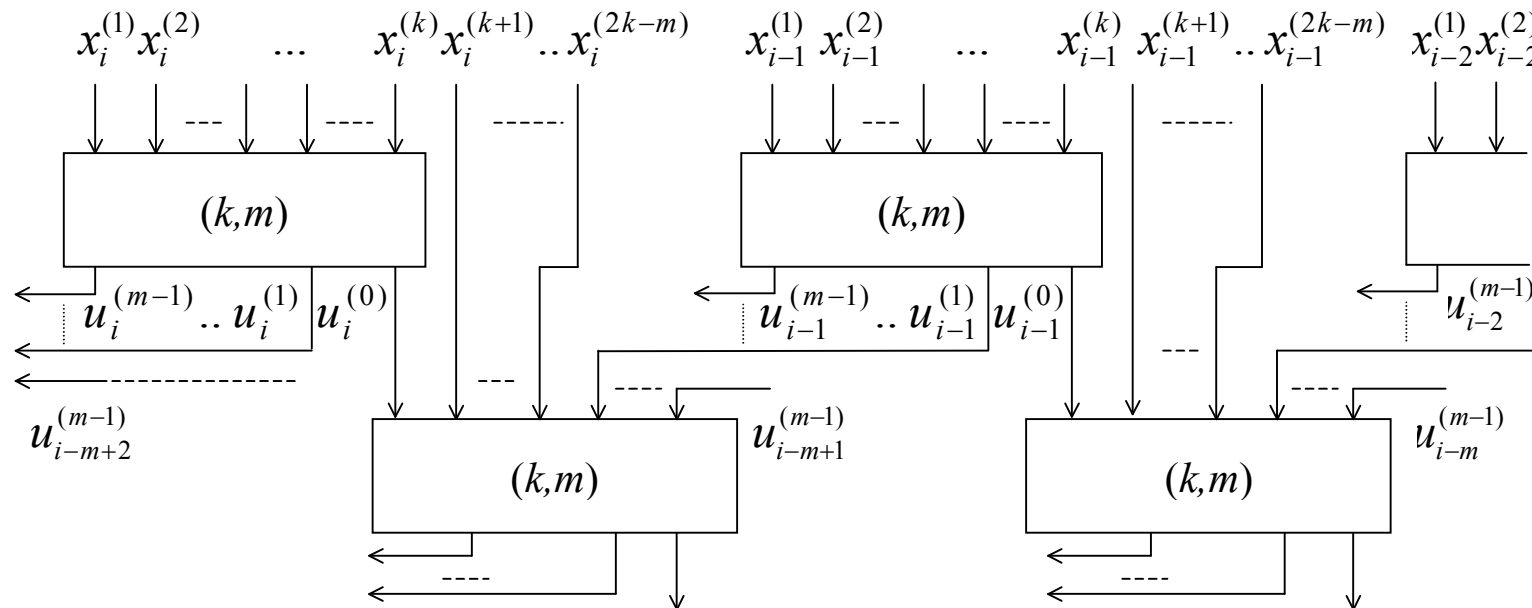
→ jeśli liczba argumentów  $k > \beta + 1$ , to dodawanie można wykonać etapami

$> \beta + 1$ argumentów		(0)	(0)	$a_{k-1}$	$a_{k-2}$	...	$a_{-m+3}$	$a_{-m+2}$	$a_{-m+1}$	$a_{-m}$
		(0)	(0)	$b_{k-1}$	$b_{k-2}$	...	$b_{-m+3}$	$b_{-m+2}$	$b_{-m+1}$	$b_{-m}$
		(0)	(0)	$c_{k-1}$	$c_{k-2}$	...	$c_{-m+3}$	$c_{-m+2}$	$c_{-m+1}$	$c_{-m}$
		(0)	(0)	$d_{k-1}$	$d_{k-2}$	...	$d_{-m+3}$	$d_{-m+2}$	$d_{-m+1}$	$d_{-m}$
		...	...	...	...	...	...	...	...	...
	+	(0)	(0)	$p_{k-1}$	$p_{k-2}$	...	$p_{-m+3}$	$p_{-m+2}$	$p_{-m+1}$	$p_{-m}$
$\leq \beta + 1$ arg.		...	...	...	...	...	...	...	...	...
		...	...	...	...	...	...	...	...	...
		(0)	(0)	$(0)x_{k-1}$	$(0)x_{k-2}$	...	$(0)x_{-m+3}$	$(0)x_{-m+2}$	$(0)x_{-m+1}$	$(0)x_{-m}$
		(0)	$(1)x_{k-1}$	$(1)x_{k-2}$	...	$(1)x_{-m+3}$	$(1)x_{-m+2}$	$(1)x_{-m+1}$	$(1)x_{-m}$	(0)
		$(2)x_{k-1}$	$(2)x_{k-2}$	...	$(2)x_{-m+3}$	$(2)x_{-m+2}$	$(2)x_{-m+1}$	$(2)x_{-m}$	(0)	(0)
	+	...	...	...	...	...	...	...	...	...
2 arg	...	$(0)u_{k+1}$	$(0)u_k$	$(0)u_{k-1}$	$(0)u_{k-2}$	...	$(0)u_{-m+3}$	$(0)u_{-m+2}$	$(0)u_{-m+1}$	$(0)x_{-m}$
	...	$(1)u_k$	$(1)u_{k-1}$	$(1)u_{k-2}$	...	$(1)u_{-m+3}$	$(1)u_{-m+2}$	$(1)u_{-m+1}$		
	...	$S_k$	$S_k$	$S_{k-1}$	$S_{k-2}$		$S_{-m+3}$	$S_{-m+2}$	$(0)u_{-m+1}$	$(0)x_{-m}$

## Redukcja argumentów w drzewie CSA

sumator  $(k, m)$  – układ obliczający  $m$ -pozycyjną sumę  $k$  liczb jednocyfrowych

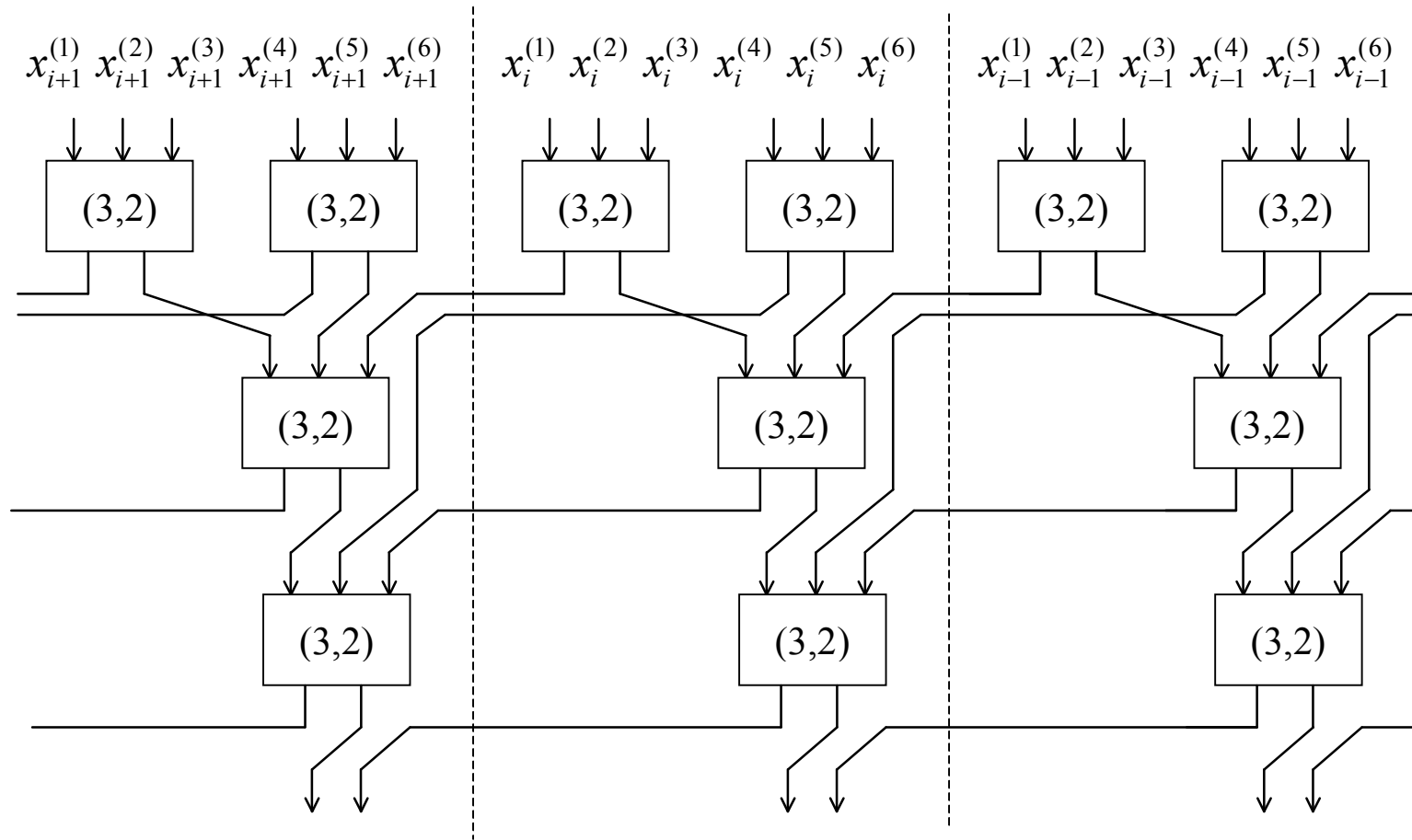
$$m = \lceil \log_{\beta} [k(\beta - 1) + 1] \rceil$$



Struktura redukcji argumentów w drzewie CSA zbudowanym z modułów  $(k, m)$

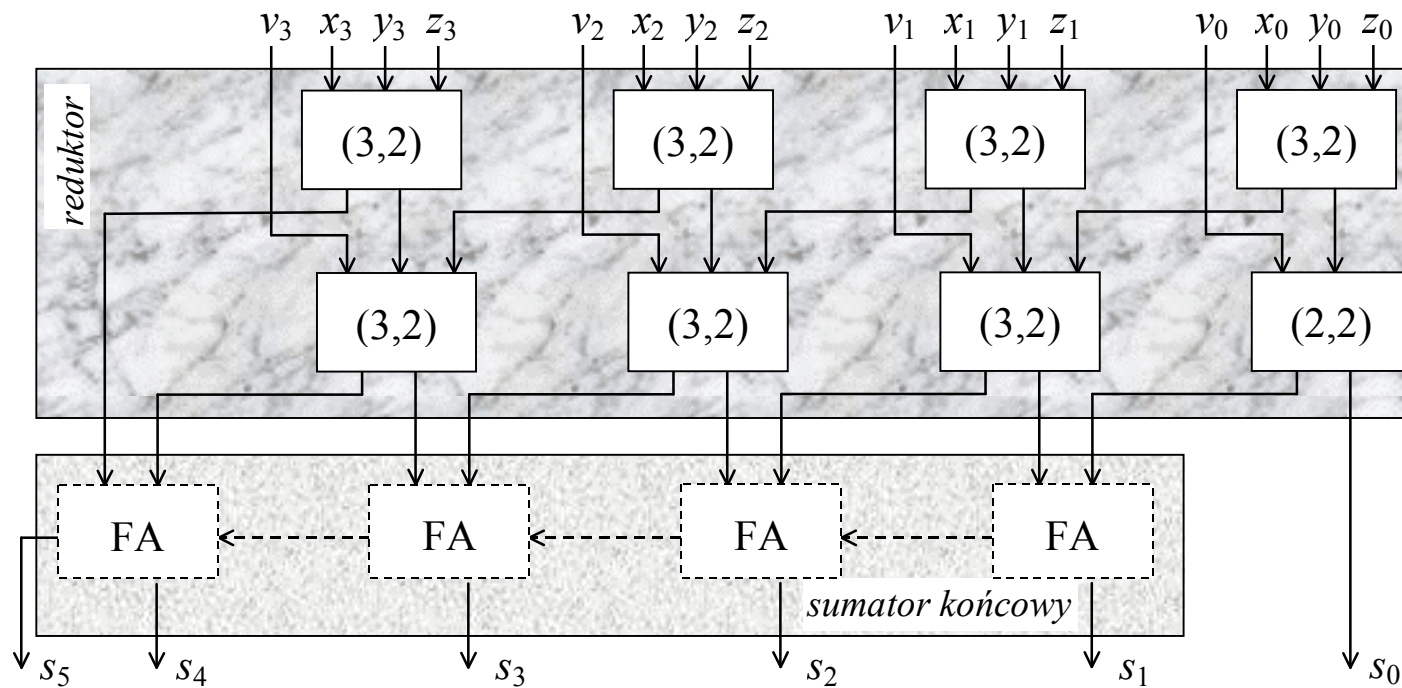
$$X^{(1)} + X^{(2)} + \dots + X^{(k)} = \sum_{p=1}^k \sum_{i=-q}^{n-1} x_i^{(p)} \beta^i = \sum_{i=-q}^{n-1} \beta^i \sum_{p=1}^k x_i^{(p)} = \sum_{i=-q}^{n-1} \beta^i \left( \sum_{r=0}^m u_{i-r}^{(r)} \beta^r \right)$$

## Redukcja argumentów w dwójkowym drzewie CSA



Skala redukcji operandów w wielopoziomowym dwójkowym drzewie CSA

## Dwójkowe sumatory wieloargumentowe (CSA)



Czteropozycyjny sumator czterooperandowy CSA  
*czas dodawania = czas redukcji + czas dodawania końcowego*

## Redukcja $k$ dwójkowych operandów $n$ -poziomych (CSA)

Pojedynczy układ (3,2) redukuje dokładnie jeden operand 1-bitowy

→ do redukcji  $k$  operandów  $n$ -bitowych potrzeba  $n(k-2)$  układów (3,2)

→  $k_L$  operandów na poziomie  $L \Rightarrow k_{L+1} \leq k_L + \lfloor k_L / 2 \rfloor$  na poziomie  $L+1$

- jeden poziom CSA redukuje 3 operandy do 2 – skala redukcji  $3/2$
- dwa poziomy CSA redukują 4 operandy do 2 – skala redukcji  $\sqrt{2}$
- trzy poziomy CSA redukują 6 operandów do 2 – skala redukcji  $\sqrt[3]{3}$

$$2(\sqrt{2})^L \leq k_L \leq 2(\frac{3}{2})^L$$

(lepsza ocena)  $2(\sqrt[3]{3})^L \leq k_L \leq 2(\frac{3}{2})^L \quad (L \geq 3)$

(niezłe oszacowanie)  $k_L \cong (\frac{3}{2})^L + (\sqrt[3]{3})^L$

Redukcja liczby operandów w wielopoziomowej strukturze CSA

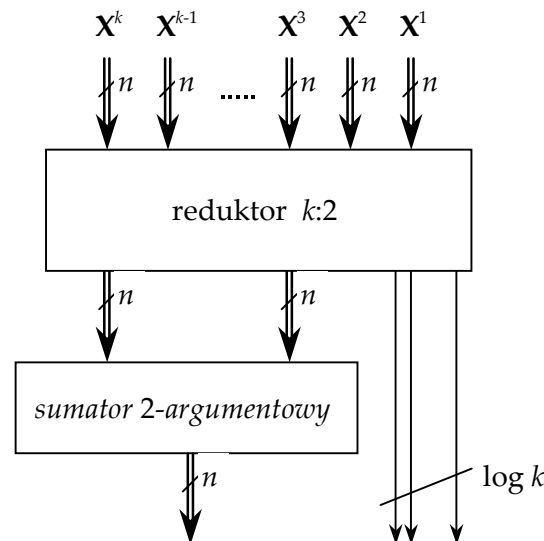
liczba poziomów $L$	1	2	3	4	5	6	7	8	9	10
$2(\frac{3}{2})^L$	3	4	6	10	15	22	34	51	76	115
maksymalna liczba operandów	<b>3</b>	<b>4</b>	<b>6</b>	<b>9</b>	<b>13</b>	<b>19</b>	<b>28</b>	<b>42</b>	<b>63</b>	<b>94</b>
$2(\sqrt[3]{3})^L \cong 2 \cdot 1,44224957^L$	3	<del>5</del>	6	9	13	18	26	38	54	78
$2(\sqrt{2})^L \cong 2 \cdot 1,41421356^L$	3	4	6	8	12	16	23	32	46	65



## Konstrukcja wieloargumentowego sumatora CSA (1)

- poprawna reprezentacja sumy  $k$  argumentów  $n$ -bitowych  
 $0 \leq X_1, X_2, \dots, X_k \leq 2^n - 1 \Rightarrow 0 \leq X_1 + X_2 + \dots + X_k \leq k(2^n - 1) < 2^{n+\log k} - 1$   
wymaga wytworzenia  $\log k$  dodatkowych pozycji
- reduktor CSA zawiera  $nk - 2n = n(k-2)$  elementów (3,2)
- reduktor ma głębokość  $L = O(\log k)$ :

$$1,7095 \log \frac{k}{2} = (\log 1,5)^{-1} \log \frac{k}{2} \leq L \leq 3(\log 3)^{-1} (\log \frac{k}{2}) = 1,8928 (\log \frac{k}{2})$$



sumator wieloargumentowy CSA

## Konstrukcja wieloargumentowego sumatora CSA (2)

Konstrukcja jest rekurencyjna typu *top-down*

1. każde 3 sygnały wejściowe **o tej samej wadze** przyłącz do wejść modułu (3,2)
2. sygnał nieprzyłączony przekaz na niższy poziom CSA lub opcjonalnie parę sygnałów **o tej samej wadze** przekształć przez półsumator HA (układ (2,2))
3. wytwórz wyjścia wszystkich modułów (3,2) (lub (2,2))
  - pamiętaj, że wyjścia *s* (sumy) i *c* (przeniesienia) mają **różne wagi!**
4. w poszczególnych kolumnach zbierz sygnały **o jednakowych wagach**
5. powtarzaj 1–4 dopóki w jakiejś kolumnie pozostało więcej niż 2 sygnały
6. dołącz sumator końcowy (najlepiej szybki: CLA, PPA, COSA)

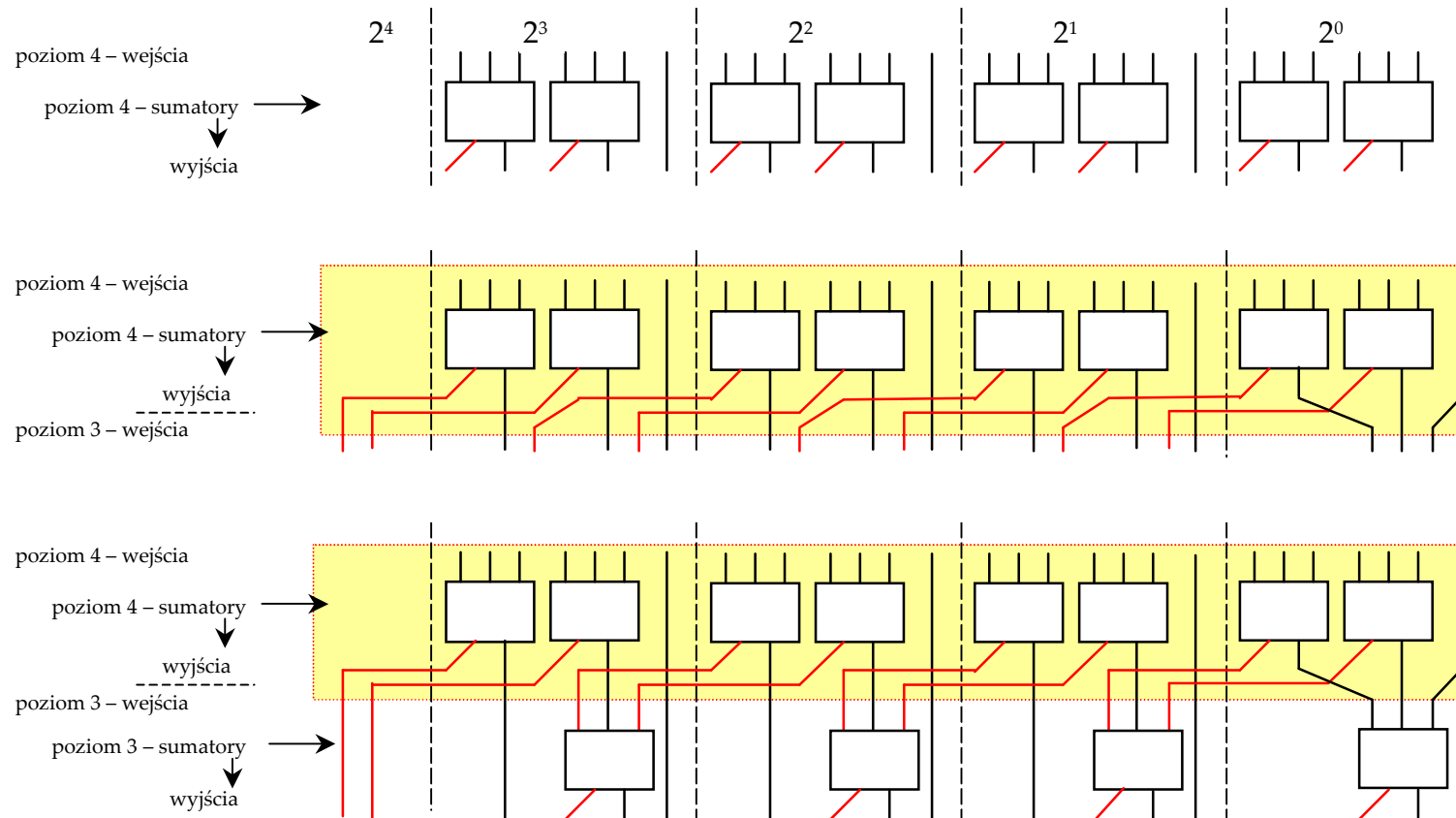
Konstrukcja typu *bottom-up* (*drzewo Wallace'a*) jest trudniejsza,  
bo w skrajnych kolumnach jest mniej argumentów do redukcji

**UWAGA:**

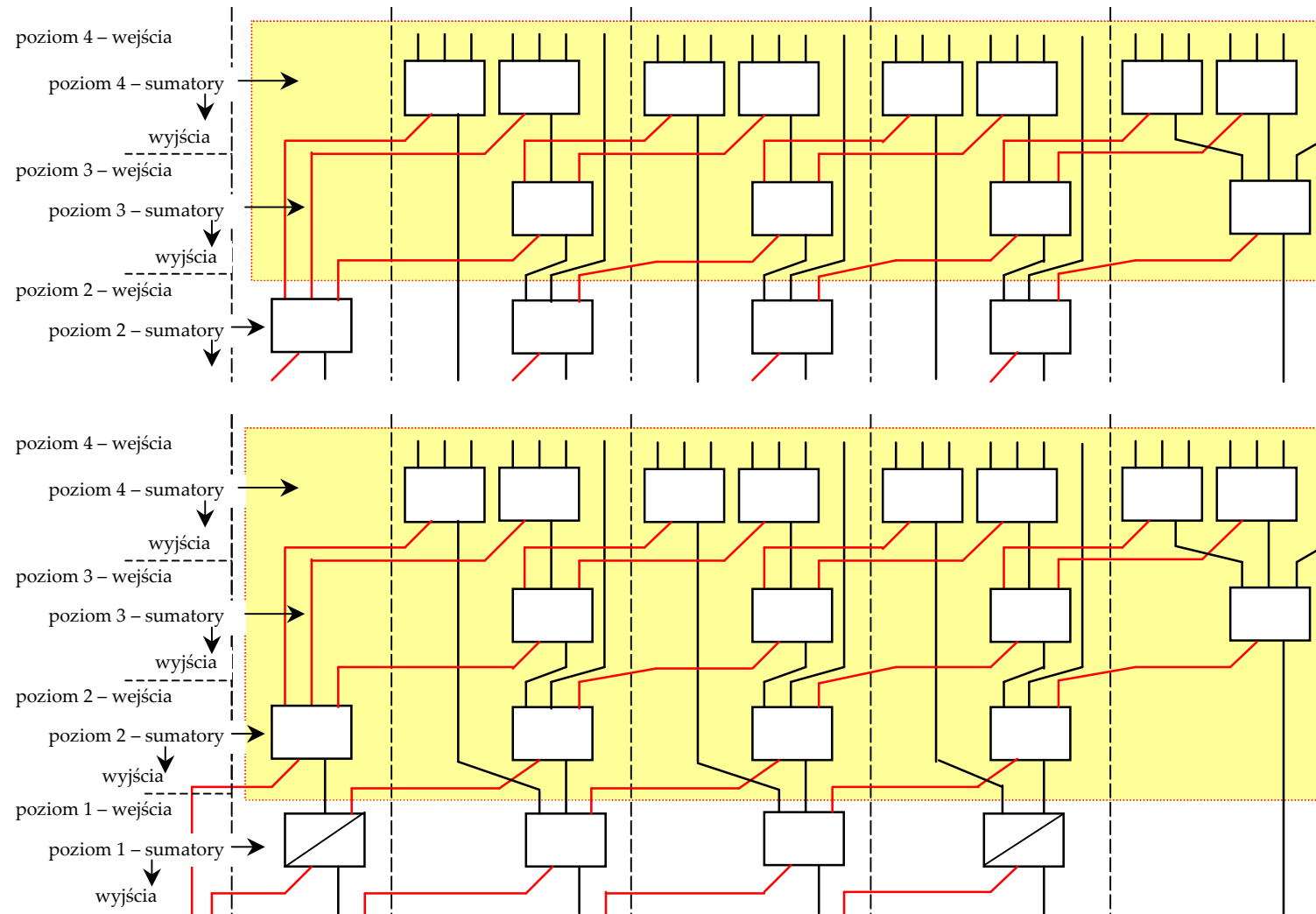
Zwrotne przekazywanie sygnału na poprzedni poziom redukcji  
jest **poważnym błędem** (sprzeczne z ideą szybkiej redukcji argumentów)

## Schemat konstrukcji wielopoziomowego reduktora CSA (1)

przykład – 7 argumentów 4-bitowych ( $w=3+3$ ,  $L=4$ )



## Schemat konstrukcji wielopoziomowego reduktora CSA (2)



## Dwójkowe sumatory wieloargumentowe kodu U2 (1)

Wymagany zakres końcowej sumy jest o  $m = \lceil \log_2 k \rceil$  bitów większy, bo

$$-2^{n-1} \leq X_1, X_2, \dots, X_k \leq 2^{n-1} - 1 \Rightarrow -2^{n+\log k-1} \leq X_1 + X_2 + \dots + X_k < 2^{n+\log k-1}$$

Podstawowy algorytm dodawania w kodzie U2 wymaga użycia  $m = \lceil \log_2 k \rceil$  bitów rozszerzenia lewostronnego dla każdego z  $k$  argumentów, a w konsekwencji:

- drzewo CSA zawierałoby  $k \cdot (n+m)$  argumentów bitowych
- $k \cdot \lceil \log_2 k \rceil$  wejść stanowiłyby powielone bity rozszerzenia lewostronnego
- konieczne rozgałęzienie bitu wiodącego każdego spośród  $k$  argumentów

Alternatywa: przekodowanie argumentów

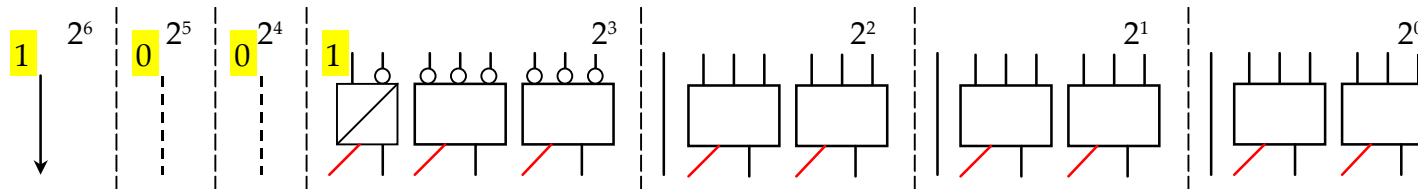
każdy argument  $n$ -bitowy w kodzie U2 można zapisać jako sumę liczby dodatniej (w kodzie NB) i stałej ujemnej

$$-x_{n-1}2^{n-1} + \sum_{i=0}^{k-2} x_i 2^i = -2^{n-1} + \bar{x}_{n-1}2^{n-1} + \sum_{i=0}^{n-2} x_i 2^i$$

gdzie  $\bar{x}_{n-1} = 1 - x_{n-1}$  – dopełnienie (negacja) bitu wiodącego

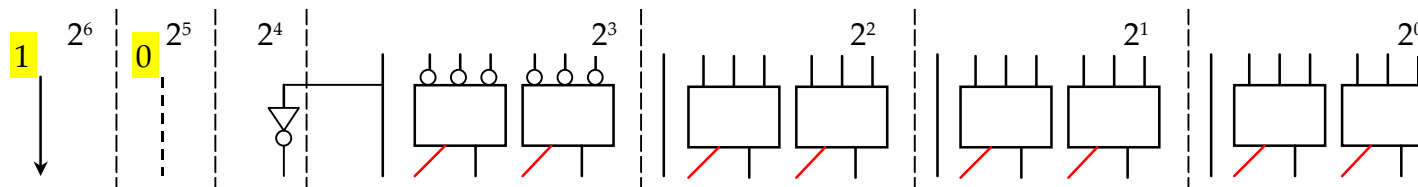
## Dwójkowe sumatory wieloargumentowe kodu U2 (2)

Przekodowanie każdego argumentu  $\{x_{n-1}, x_{n-2}, \dots, x_1, x_0\}$  danego w kodzie U2 na sumę liczby naturalnej o reprezentacji  $\{\bar{x}_{n-1}, x_{n-2}, \dots, x_1, x_0\}$  i ujemnej stałej  $-2^n$  pozwala zastąpić użycie rozszerzeń lewostronnych przez dopełnianie (negację) wiodących bitów argumentów i dodanie stałej korekcyjnej  $-k \cdot 2^{n-1}$ :



Modyfikacja drzewa CSA do dodawania  $k=7$  liczb  $n=4$ -bitowych w kodzie U2

UWAGA: Ponieważ  $\dots 01\dots 11 + \dots 00x = \dots x \bar{x} \dots \bar{x} \bar{x}$ , więc schemat można uprościć:



Uprozczone drzewo CSA do dodawania  $k=7$  liczb  $n=4$ -bitowych w kodzie U2

## Zliczanie jedynek (lub zer) w słowie $n$ -bitowym

(prawie) trzykrotna redukcja na I poziomie sumatora

- jeśli  $n=3k$ , to na II poziomie jest  $k$  operandów 2-bitowych
- jeśli  $n \neq 3k$ , to na II poziomie jest  $\lceil n/3 \rceil$  operandów 2-bitowych

Parametry układu (bez 2-bitowego sumatora wyjściowego)

- liczba modułów CSA –  $n-2$
- liczba poziomów CSA –  $1 + \text{liczba poziomów redukcji } \lceil n/3 \rceil \text{ operandów, czyli}$   

$$\frac{\log \lceil n/3 \rceil - 1}{\log 3 - 1} + 1 \leq L \leq \frac{3(\log \lceil n/3 \rceil - 1)}{\log 3} + 1$$
- liczba bitów wyniku –  $\log_2 n$
- zliczanie zer – liczba jedynek w słowie zanegowanym jest równa liczbie zer w słowie oryginalnym

## Alternatywne konstrukcje wielopoziomowego drzewa CSA\*)

od góry (*top-down*)

liczba operandów	struktura
$N = N_0$	$(N_0/3) * (3,2)$
$(N_0/3) * 2 +  N_0 _3 = N_1$	$(N_1/3) * (3,2)$
... ..	... ..
$(6/3) * 2 + 0 = 4$	$1 + 1 * (3,2)$
$(4/3) * 2 + 1 = 3$	$1 * (3,2)$

redukcja od poziomu  $L$ ,  
łatwiejsza konstrukcja drzewa

od dołu (*bottom-up*) – drzewo Wallace'a

liczba operandów	struktura
$k_{L-1} < N < k_L$	$(N - k_{L-1}) * (3,2) +$
$k_{L-2} + \lfloor k_{L-2}/2 \rfloor = k_{L-1}$	$\lfloor k_{L-1}/3 \rfloor * (3,2) +  k_{L-1} _3$
... ..	... ..
$3 + \lfloor 3/2 \rfloor = 4 = k_2$	$\lfloor 3/2 \rfloor * (3,2) + 1$
$2 + \lfloor 3/2 \rfloor = 3 = k_1$	$\lfloor 2/2 \rfloor * (3,2)$

kumulacja operandów od poziomu 1  
 $k_{L+1} = k_L + \lfloor k_L / 2 \rfloor, k_0 = 2$

L	operandy	struktura		operandy	struktura
7	21	$7 * (3,2)$		27	$9 * (3,2)$
6	$7 * 2 = 14$	$2 + 4 * (3,2)$		$9 * 2 = 18$	$6 * (3,2)$
5	$4 * 2 + 2 = 10$	$1 + 3 * (3,2)$		$6 * 2 = 12$	$4 * (3,2)$
4	$3 * 2 + 1 = 7$	$1 + 2 * (3,2)$		$4 * 2 = 8$	$2 + 2 * (3,2)$
3	$2 * 2 + 1 = 5$	$2 + 1 * (3,2)$		$2 * 2 + 2 = 6$	$2 * (3,2)$
2	$1 * 2 + 2 = 4$	$1 + 1 * (3,2)$		$2 * 2 = 4$	$1 + 1 * (3,2)$
1	$1 * 2 + 1 = 3$	$1 * (3,2)$		$1 * 2 + 1 = 3$	$1 * (3,2)$

operandy	struktura
20...27	$1 \dots 8 * (3,2) + \dots$
$8 * 2 + 3 = 19$	$6 * (3,2) + 1$
$6 * 2 + 1 = 13$	$4 * (3,2) + 1$
$4 * 2 + 1 = 9$	$3 * (3,2)$
$2 * 3 = 6$	$2 * (3,2)$
$2 * 2 = 4$	$1 * (3,2) + 1$
$1 * 2 + 1 = 3$	$1 * (3,2)$



## Konwertery $(k, m)$ w systemach dwójkowych\*

$$\beta=2 \Rightarrow k \leq 2^m - 1, m = \lceil \log_2(k+1) \rceil$$

- elementarny reduktor  $(3,2)$  – jednopozycyjny sumator binarny (FA)
- konwerter  $(k,m)$  (licznik jedynek)
  - – koduje liczbę jedynek z  $k$  wejść na  $m$  wyjściach
  - – drzewo  $(3,2)$  lub projekt indywidualny, np. licznik  $(4,3)$

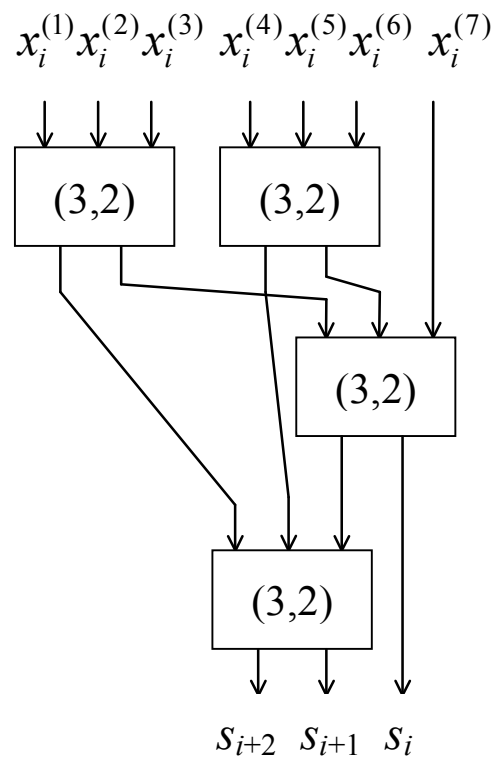
$$u^{(0)} = (x \oplus y) \oplus (z \oplus v)$$

$$u^{(1)} = (x \oplus y)(z + v) + (y \oplus z)(x + v) + (z \oplus v)(x + y)$$

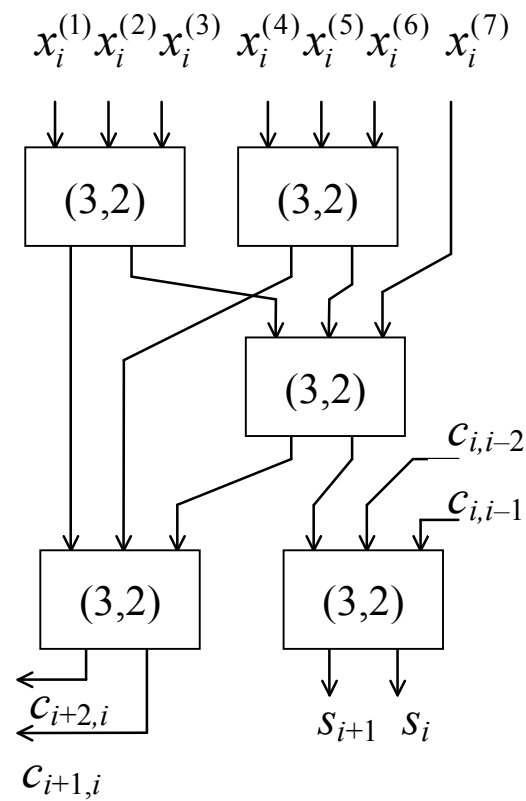
$$u^{(2)} = xyzv$$

- reduktor  $(k,2)$  – koduje liczbę jedynek z  $k$  wejść na 2 wyjściach sumy i pewnej liczbie wyjść przeniesień (kumulacja przeniesień)

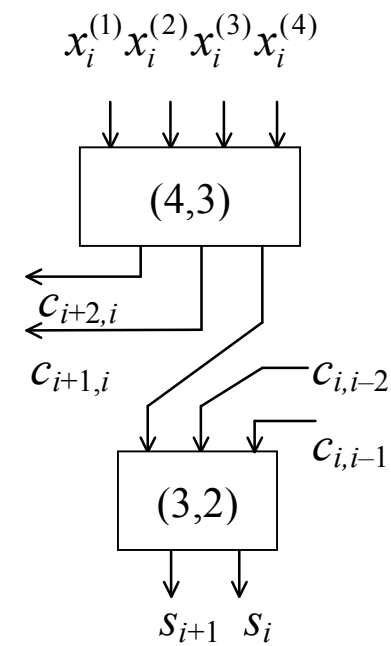
## Konwertery $(k, m)$ i reduktory $(k, 2)^*$



Konwerter (7,3)



Reduktor (7,2)



Reduktor (4,2)

**Reduktory wielokolumnowe**  $(k_{s-1}, \dots, k_1, k_0, m)^*$ 

Dodawanie operandów o rosnących wagach ( $k_i$  o wadze  $\beta^i$ ,  $i=0,1,\dots,s$ )

suma na  $m$  pozycjach – wektor o  $l$  składowych:

- jednooperandowa  $s$ -pozycyjna suma o wadze  $2^0$ ,
- wielooperandowe przeniesienie wektorowe o wagach operandów  $(2^s)^i$

Warunek zakodowania wyniku na  $m$  pozycjach

$$\beta^m - 1 \geq \sum_{i=0}^{s-1} k_i (\beta - 1) \beta^i$$

w systemie dwójkowym  $2^m - 1 \geq \sum_{i=0}^{s-1} k_i 2^i$

warunek realizowalności licznika  $(k, k, \dots, k, m)$

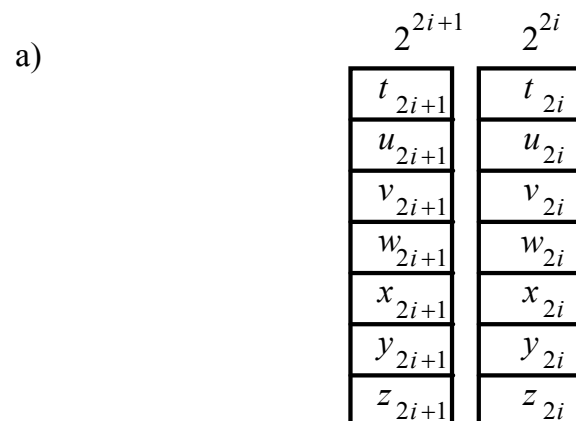
$$2^m - 1 \geq k(2^s - 1)$$

$m \leq 2s \Rightarrow$  suma  $k$  operandów  $s$ -pozycyjnych jest najwyżej 2-operandowa

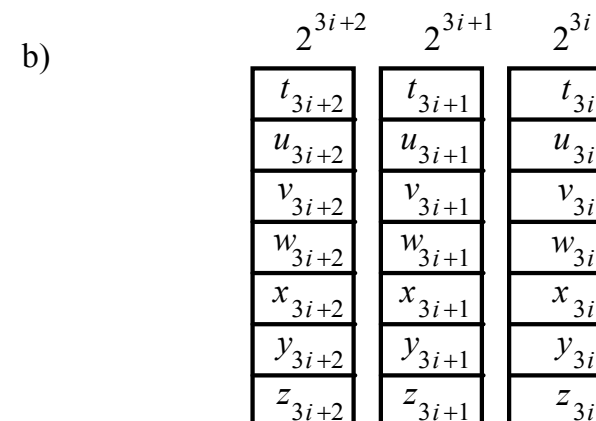
$$2^{2s} - 1 \geq 2^m - 1 \geq k(2^s - 1) \Rightarrow k \leq 2^s + 1$$

## Parametry optymalnych reduktorów $s$ -kolumnowych\*

$s$	1	2	3	4	5	6	7
$m=2s$	2	4	6	8	10	12	14
$k$	3	5	9	17	33	65	129



$c_{2i+4}$	$c_{2i+3}$	$c_{2i+2}$	$s_{2i+1}$	$s_{2i}$
$2^{2i+4}$	$2^{2i+3}$	$2^{2i+2}$	$2^{2i+1}$	$2^{2i}$



$c_{3i+4}$	$c_{3i+3}$	$s_{3i+2}$	$s_{3i+1}$	$s_{3i}$
$2^{3i+4}$	$2^{3i+3}$	$2^{3i+2}$	$2^{3i+1}$	$2^{3i}$

Schemat dodawania w układach: a) (7,7,5), b) (7,7,7,5)

# UKŁADY MNOŻĄCE

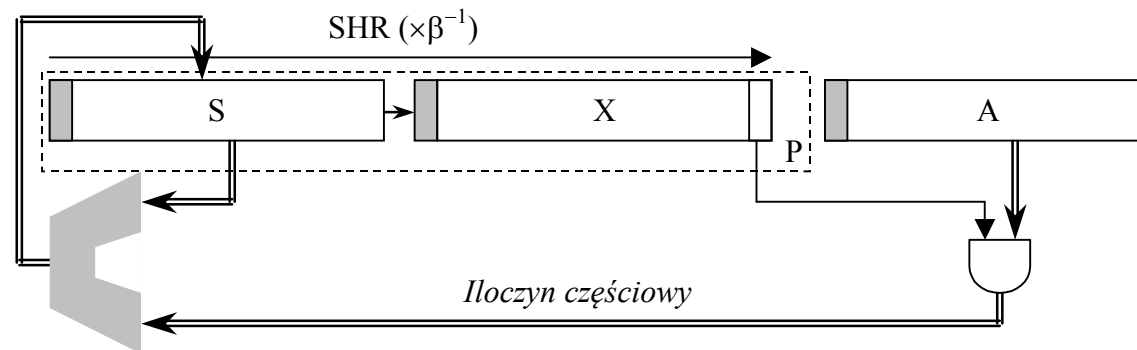
## Podstawowy schemat mnożenia (dodaj-przesuń)

*Krok 1.*  $C || S/P \leftarrow (S/P) + x_i(A)$

*Krok 2.*  $C || S/P || X/P \leftarrow 2^{-1}(C || S/P || X/P) = \text{ShR}(C || S/P || X/P)$

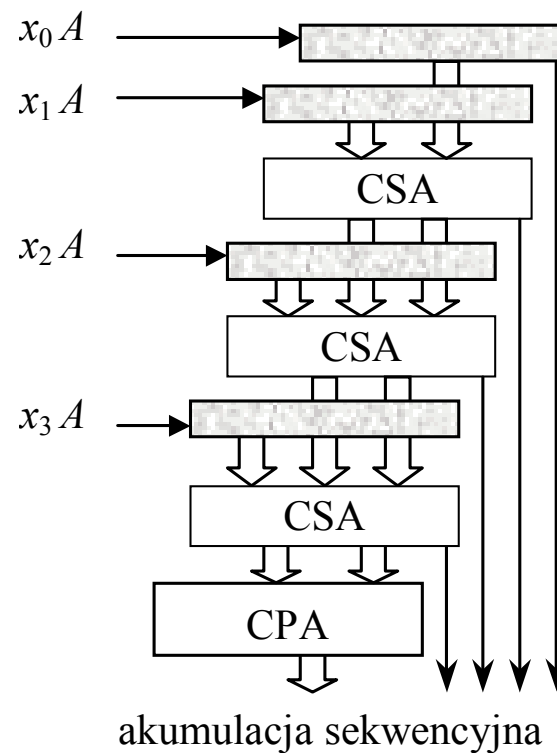
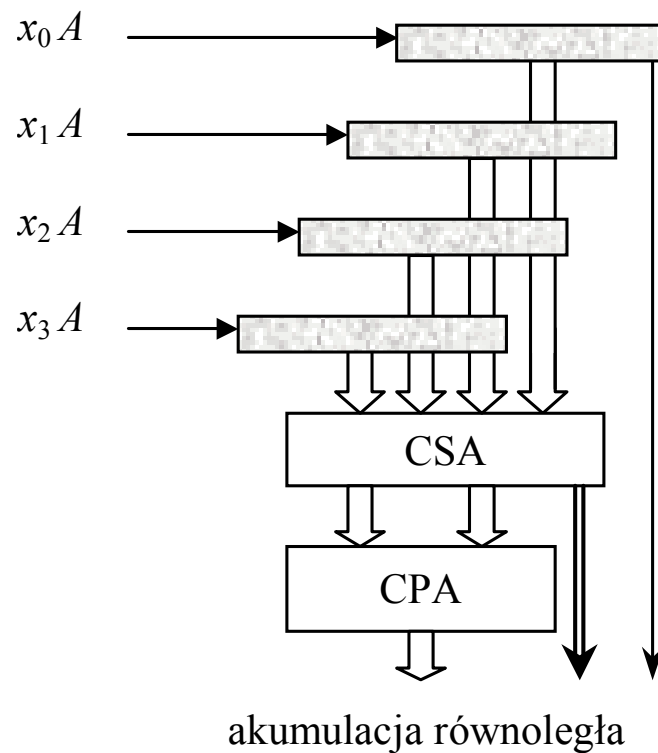
*Krok 3.  $i=i+1$ . Jeśli  $i < k+m$ , wróć do kroku 1.*

*Wynik:*  $A \cdot X = (S/P \mid \mid X/P)$



Schemat blokowy układu mnożącego: S/P – rejestr sum częściowych,  
X/P – rejestr mnożnika, A – rejestr mnożnej, C – rejestr przeniesienia

## Schematy szybkiego mnożenia



- akumulacja równoległa – drzewiasta struktura CSA,
- akumulacja sekwencyjna – liniowa struktura CSA, matryca mnożąca

## Akumulacja iloczynów częściowych

- sumatory wielooperandowe CSA

różne wagi iloczynów częściowych

A	9	8	7	6	5	4	3	2	1	0
					0	0	0	0	0	0
				0	0	0	0	0	0	
			0	0	0	0	0	0		
		0	0	0	0	0	0			
	0	0	0	0	0	0				
0	0	0	0	0	0					

matryca mnożąca

różna liczba operandów jednej wagi

A	9	8	7	6	5	4	3	2	1	0
0	0	0	0	0	0	0	0	0	0	0
	0	0	0	0	0	0	0	0	0	
		0	0	0	0	0	0	0		
			0	0	0	0	0			
				0	0	0				
					0					

drzewo CSA

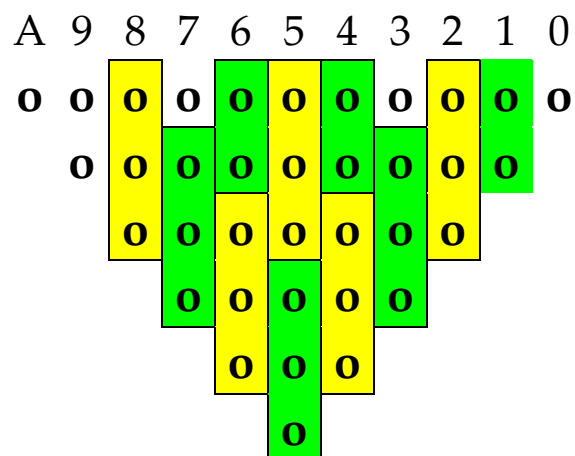
drzewo CSA

- szybka redukcja operandów w najdłuższej kolumnie
- redukcja do 1 operandów najniższych wag (krótsze końcowe dodawanie)

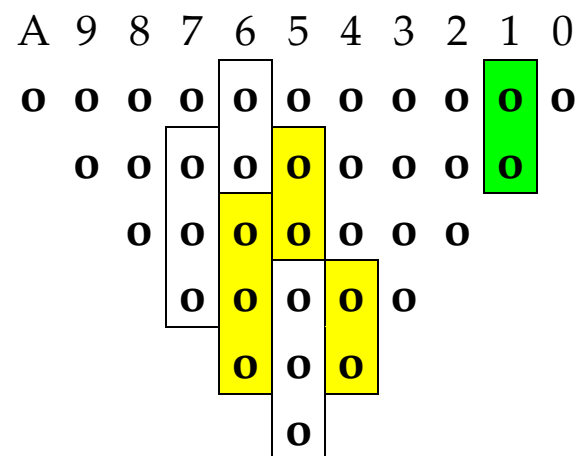


## Optymalizacja struktury CSA (1)

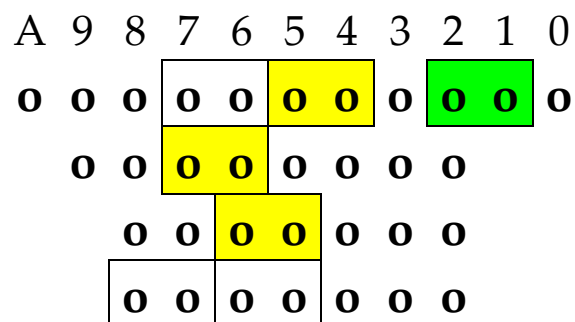
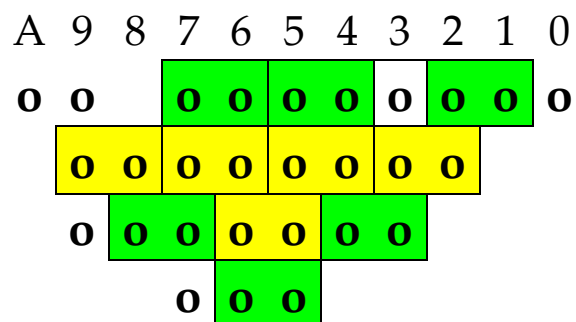
redukcja maksymalna



drzewo Wallace'a

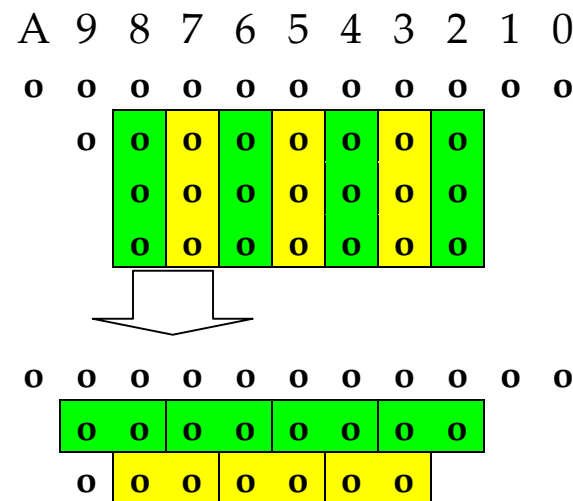
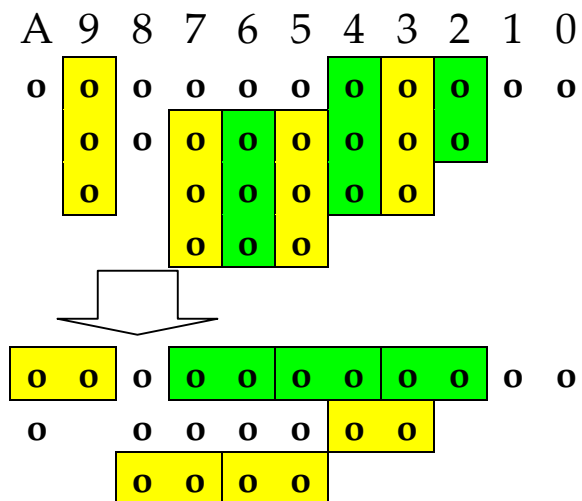


CSA, poziom 3 – wejścia układów (3,2) lub (2,2)

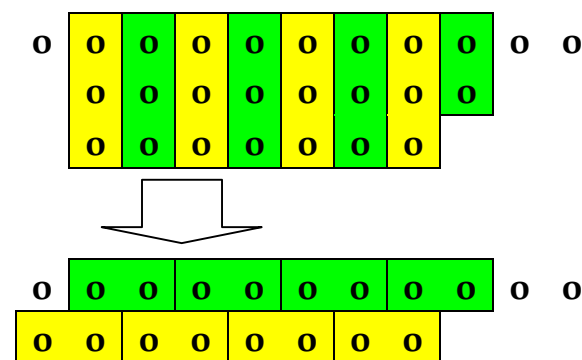
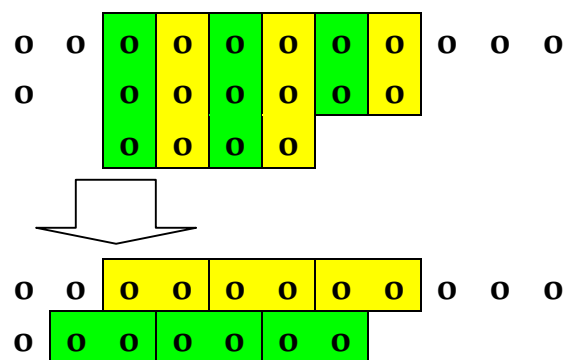


CSA, poziom 3 – wynik redukcji: wyjścia układów (3,2) lub (2,2)

## Optymalizacja struktury CSA (1)



CSA, poziom 2

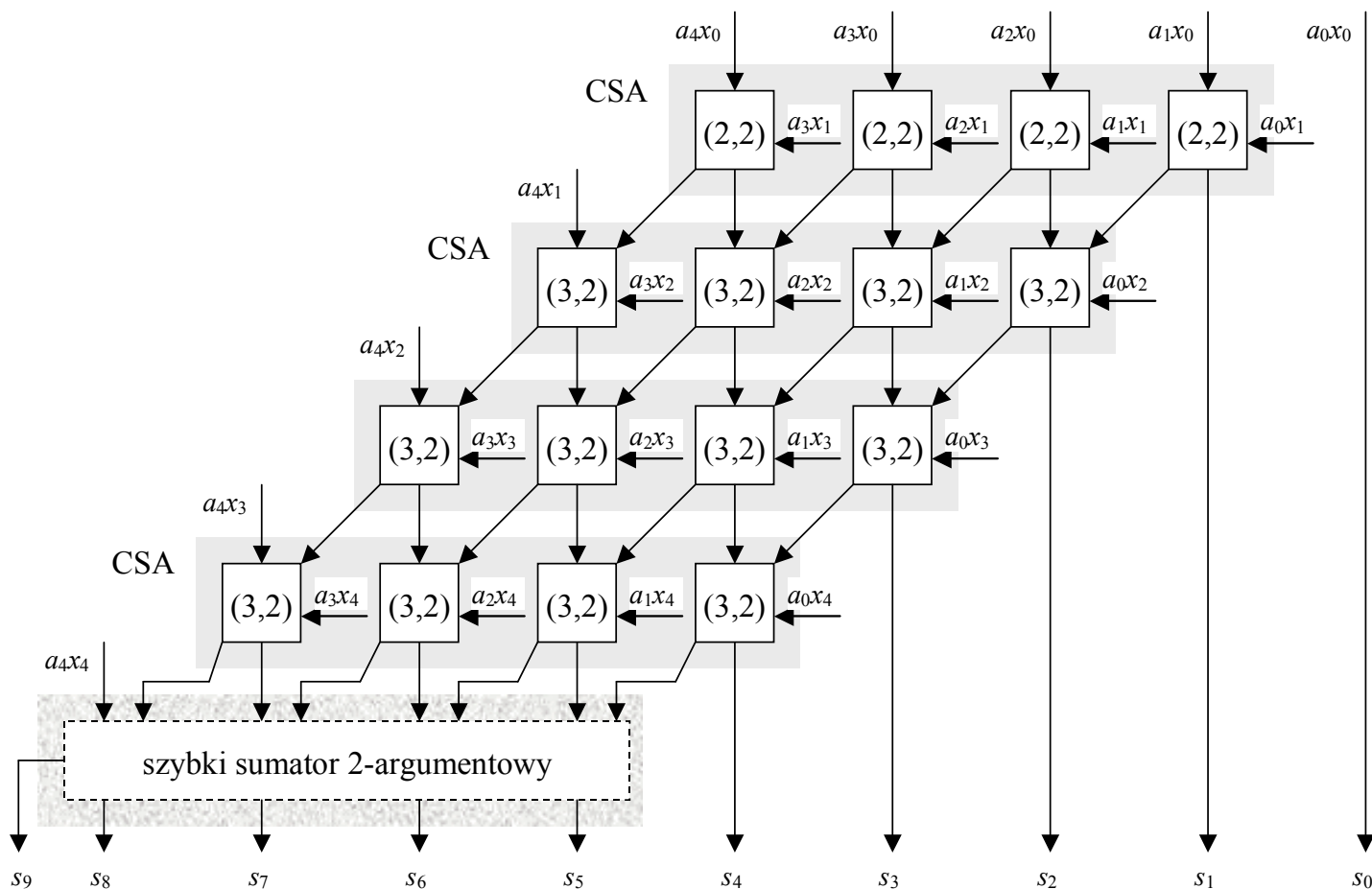


## Matrycowe układy mnożące – schemat mnożenia

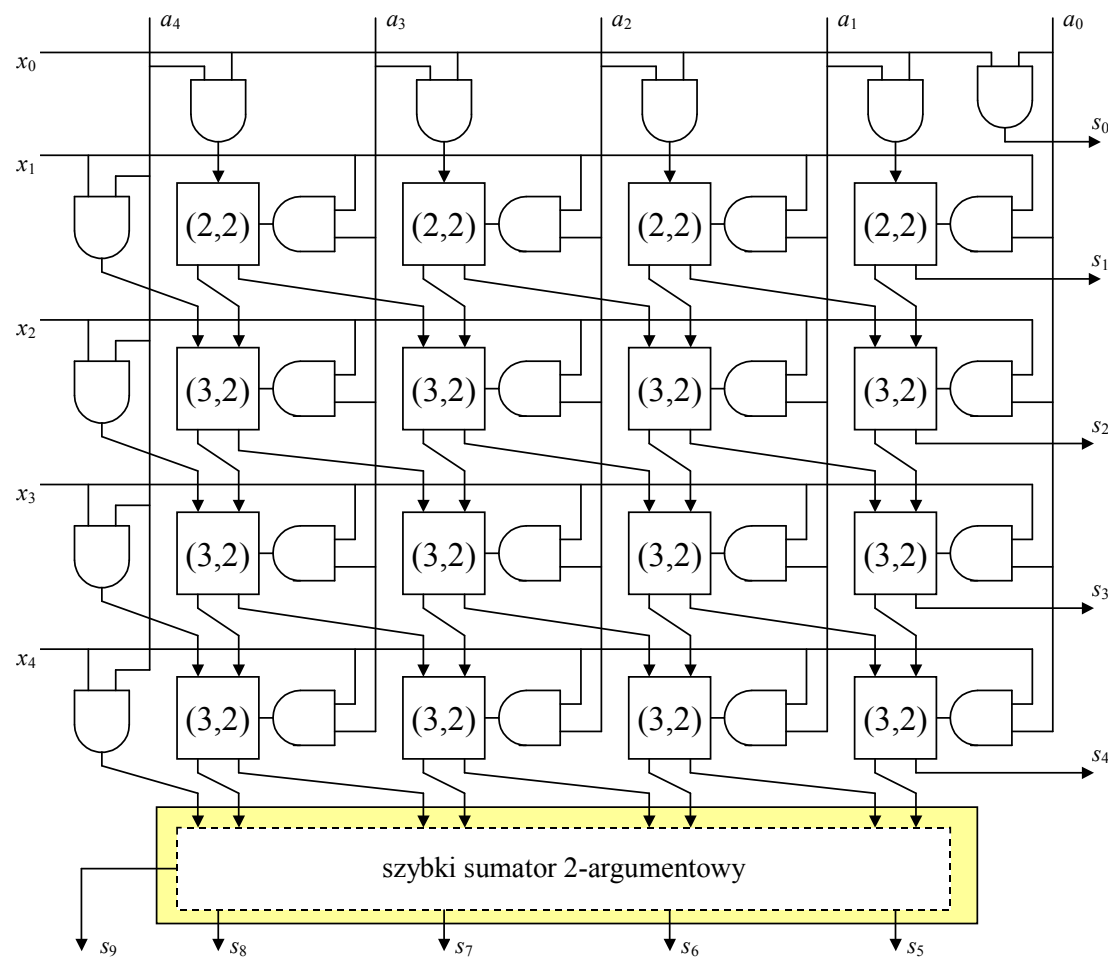
					$a_4$	$a_3$	$a_2$	$a_1$	$a_0$
				$\square$	$x_4$	$x_3$	$x_2$	$x_1$	$x_0$
					$a_4x_0$	$a_3x_0$	$a_2x_0$	$a_1x_0$	$a_0x_0$
			$+$		$a_3x_1$	$a_2x_1$	$a_1x_1$	$a_0x_1$	
				$a_4x_1$	$s_{41}$	$s_{31}$	$s_{21}$	$s_{11}$	
				$c_{41}$	$c_{31}$	$c_{21}$	$c_{11}$		
		$+$		$a_3x_2$	$a_2x_2$	$a_1x_2$	$a_0x_2$		
			$a_4x_2$	$s_{52}$	$s_{42}$	$s_{32}$	$s_{22}$		
			$c_{52}$	$c_{42}$	$c_{32}$	$c_{22}$			
	$+$		$a_3x_3$	$a_2x_3$	$a_1x_3$	$a_0x_3$			
		$a_4x_3$	$s_{63}$	$s_{53}$	$s_{43}$	$s_{33}$			
		$c_{63}$	$c_{53}$	$c_{43}$	$c_{33}$				
$+$		$a_3x_3$	$a_2x_3$	$a_1x_3$	$a_0x_3$				
	$a_4x_3$	$s_{74}$	$s_{64}$	$s_{54}$	$s_{44}$				
$+$	$c_{74}$	$c_{64}$	$c_{54}$	$c_{44}$					
$s_9$	$s_8$	$s_7$	$s_6$	$s_5$	$s_4$	$s_3$	$s_2$	$s_1$	$s_0$

$s_{ji}$  oraz  $c_{ji}$  – sumy i przeniesienia na pozycji  $j$  w  $i$ -tym kroku akumulacji

## Matryca mnożąca kodu naturalnego (Brauna)

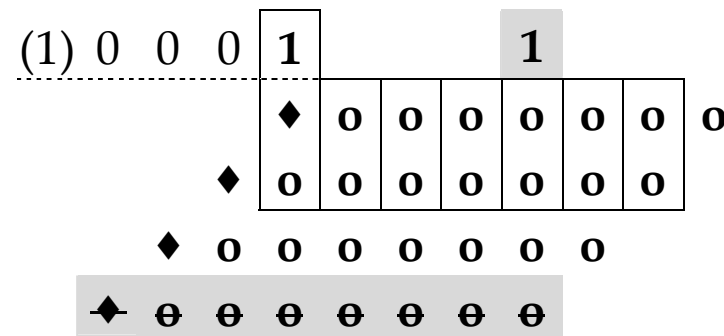


## Multiplikator Brauna (Braun multiplier)



## Konstrukcja macierzy mnożącej kodu uzupełnieniowego

### realizacja algorytmu mnożenia „bez rozszerzeń”:



( $\blacklozenge$  – negacja najbardziej znaczącego bitu operandu,  $\blacklozenge$  – negacja bitu)

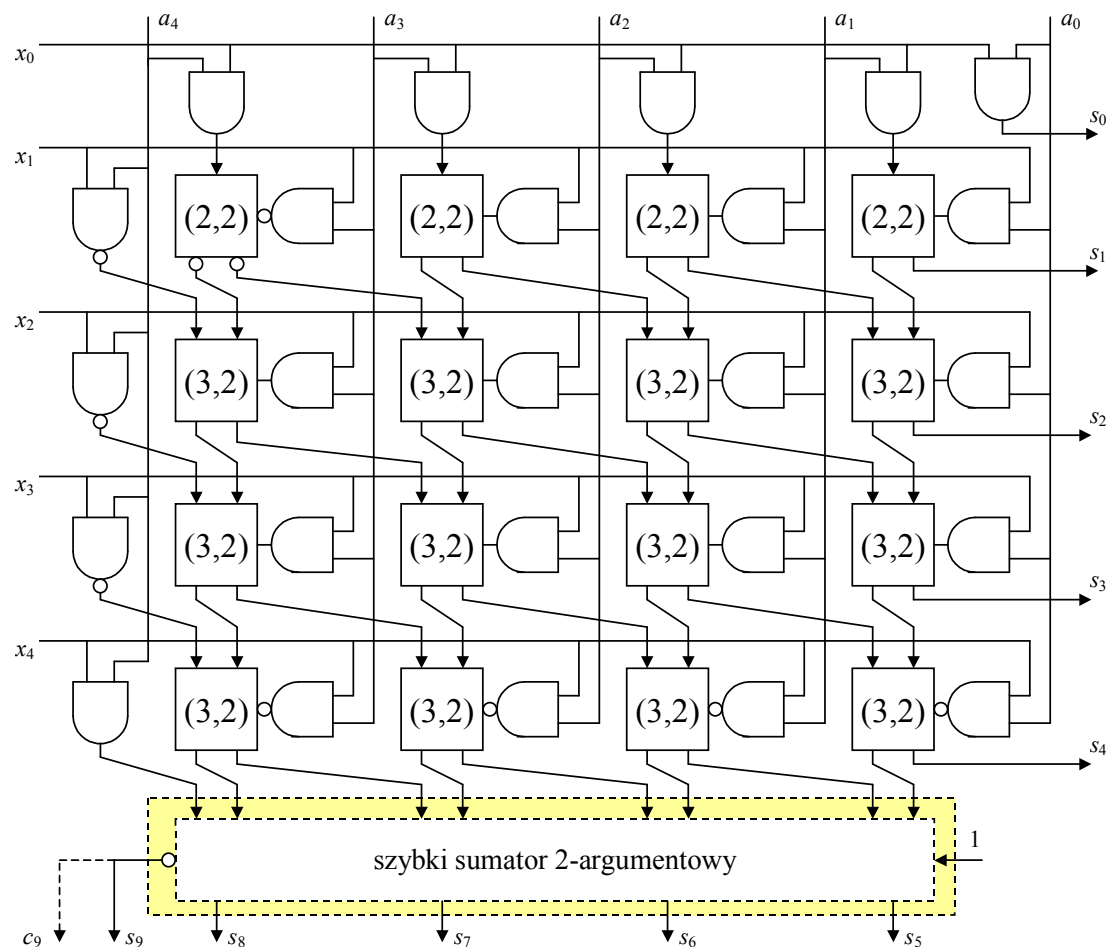
dodawanie stałych korygujących  $2^{k-1}$  i  $-2^{k+m-1}$  oraz  $2^{m-1}$  (uzupełnianie mnożnej):

- korygująca „1” na pozycji  $k-1$  ( $2^{k-1}$ )  $\Rightarrow s+1=2c_++s^* \Rightarrow s^*=1 \oplus s, c_+=s$
- dodanie  $2^{m-1}$  – modyfikacja półsumatora pozycji  $m-1$  w pierwszej linii

$$x+y+1=2c_++s \Rightarrow s = \overline{x \oplus y}, c_+ = x+y \text{ lub } s = \overline{\bar{x} \oplus \bar{y}}, c_+ = \overline{\bar{x} \cdot \bar{y}}$$

- dodanie  $-2^{n+l-1}$  – korekcja przeniesienia z najwyższej pozycji iloczynu , zgodnie z zależnością  $c_{-}+1=2c_{+}+s$ , czyli  $c_{+}=c_{-}$  oraz  $s=1 \oplus c_{-}$
- *matryca kwadratowa* ( $k=m$ ) –  $(2^{k-1}+2^{k-1}=2^k) \Rightarrow$  jedna korekcja na pozycji  $k$

## Matryca mnożąca kodu uzupełnieniowego (Baugh'a-Wooley'a)



(ostatni iloczyn częściowy: negacja bitów mnożnej i korekcja)

## Alternatywny układ mnożący kodu U2

iloczyn częściowe lub iloczyny elementarne mogą być liczbami ujemnymi

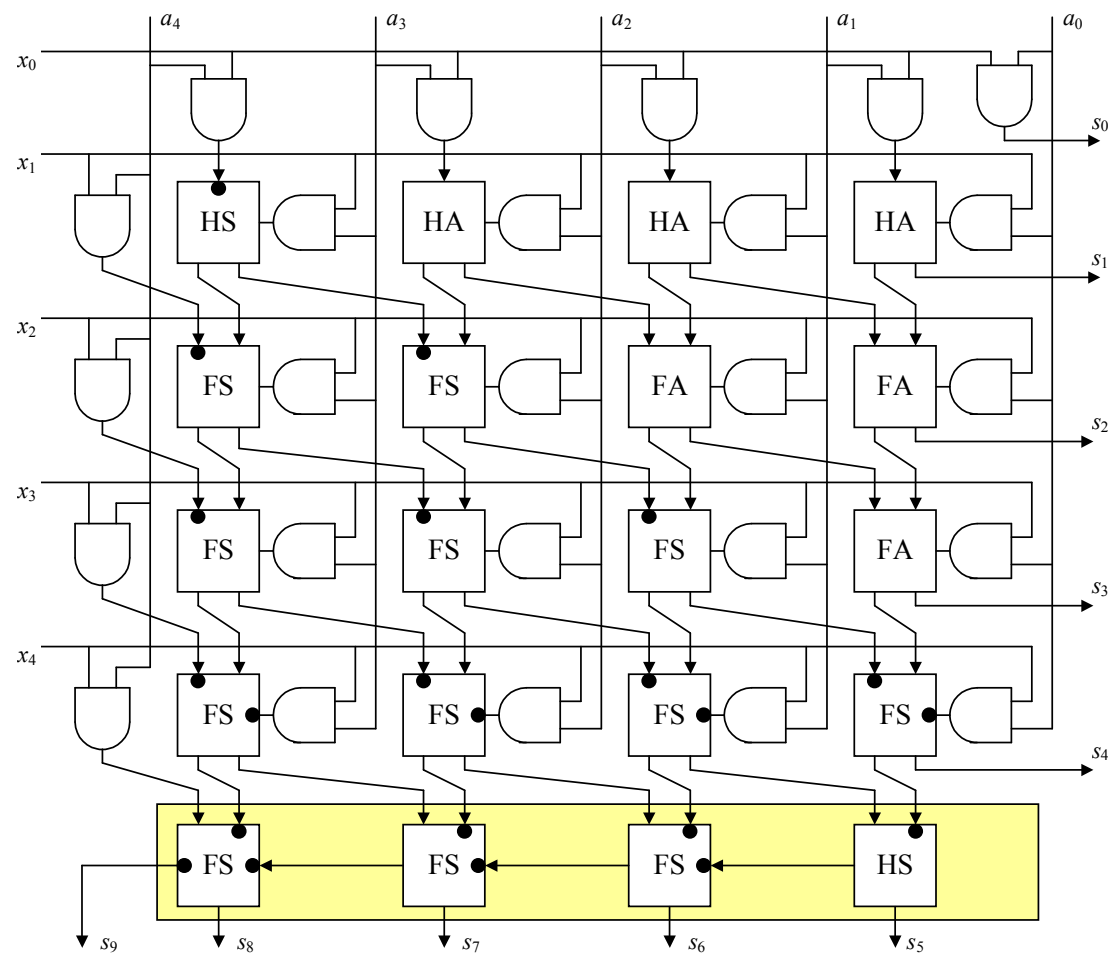
$$\begin{aligned} & \left( -a_{k-1}2^{k-1} + \sum_{i=0}^{k-2} a_i 2^i \right) \cdot \left( -x_{m-1}2^{m-1} + \sum_{j=0}^{m-2} x_j 2^j \right) = \\ & = x_{m-1}a_{k-1}2^{m+k-2} + \sum_{j=0}^{m-2} \sum_{i=0}^{k-2} x_j a_i 2^{i+j} + \left( -a_{k-1}2^{k-1} \sum_{j=0}^{m-2} x_j 2^j \right) + \left( -x_{m-1}2^{m-1} \sum_{i=0}^{k-2} a_i 2^i \right). \end{aligned}$$

- wagi operandów (1-bitowych iloczynów) mogą być ujemne  
→ wystarczy zmienić znaki wag wejść i wyjść niektórych sumatorów
- zastąpienie sumatorów FA ((3,2)) realizujących dodawanie  $x+y+z=2c+s$  układami odejmującymi FS ( $x-y-z=-2c+s$ ) lub FS<sup>D</sup> ( $x+y-z=2c-s$ )
- struktura logiczna FS i FS<sup>D</sup> identyczna
- przeciwne wagi wejść i wyjść, bo

$$x-y-z=-(z+y-x) \quad \text{oraz} \quad -(2c-s)=-2c+s$$



## Alternatywna matryca mnożąca kodu uzupełnieniowego



(• – wejścia o ujemnej wadze)

## Charakterystyki matryc mnożących

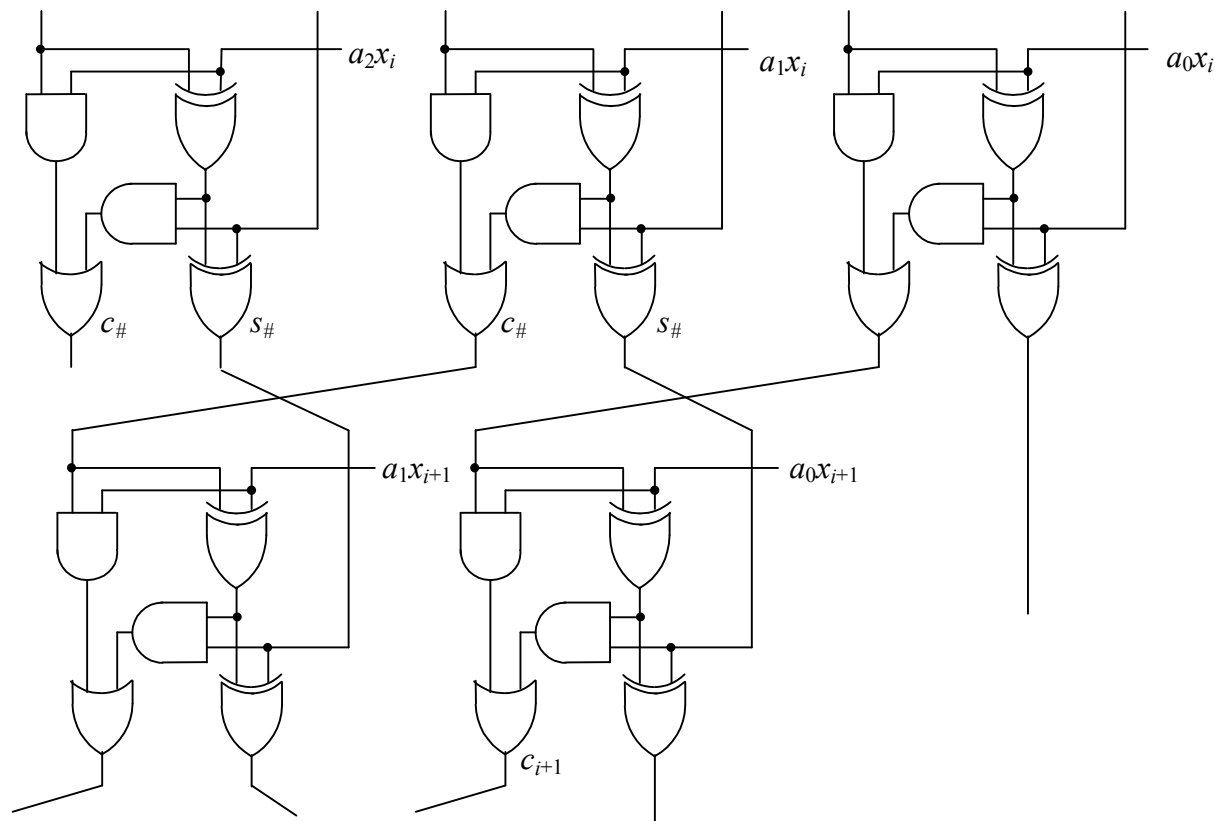
złożoność (mnożnik  $m$ -bitowy, mnożna  $k$ -bitowa)

- $A=8(m-1)k$  (dodatkowa bramka AND na każdy akumulowany bit)
- $T=3(m-1)+T_{CPA(k)} \geq 3m+2\log k-1$   
(odpowiednie łączenie poziomów daje opóźnienie 6 na dwóch poziomach)

podatność na przetwarzanie potokowe (pipelining)

- dla danej pary operandów w danej chwili jest wykonywane dodawanie tylko na jednym poziomie układu matrycowego,
- na innych poziomach można *w tym samym czasie* wykonać wcześniejsze lub późniejsze fazy mnożenia innych par operandów
- niezbędne rozbudowanie o dodatkowe układy transmitujące wyniki dodawania na mniej znaczących pozycjach oraz układ synchronizacji.
- przepustowość układu zależy od szybkości końcowego dodawania  
w seryjnym mnożeniu końcowy CPA jako kaskada CSA  
szybkość bliska szybkości dodawania 1-bitowego!

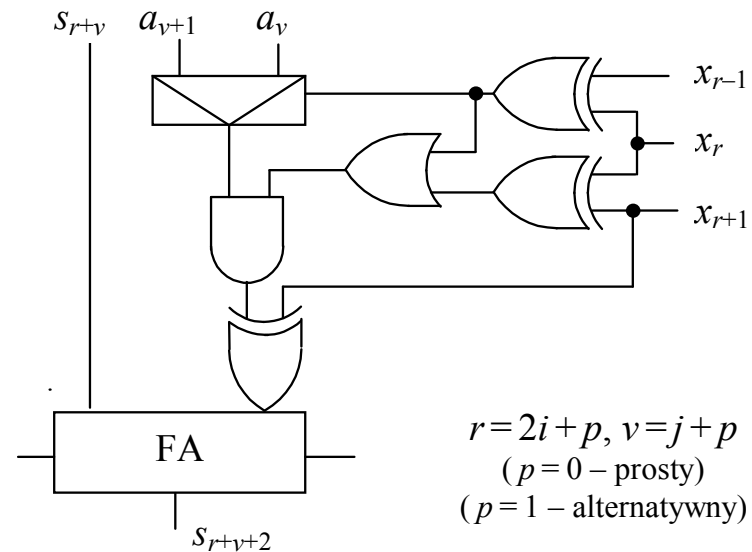
## Optymalne łączenie poziomów CSA w matrycy mnożącej\*



maksymalne opóźnienie przez 2 poziomy –  $(2+4)$  lub  $(4+2)$ , czyli zawsze 6

## Realizacja przekodowania Bootha-McSorleya w matrycy\*

- możliwe zastosowanie algorytmu Bootha/McSorleya



- „brak podwojenia” =  $x_r \oplus x_{r-1}$ ,
- „odejmowanie” =  $x_{r+1}$ ,
- „brak zerowania” =  $(x_r \oplus x_{r+1}) + (x_r \oplus x_{r-1})$ ,

## Strukturalizacja układów mnożących

- układ mnożący  $kn \times kn$  – złożenie układów mnożących  $n \times n$ :

$$AX = \left( \sum_{s=0}^{k-1} A_s 2^{sn} \right) \left( \sum_{s=0}^{k-1} X_s 2^{sn} \right) = \sum_{j=0}^{k-1} 2^{jn} \sum_{i=0}^j A_i X_{j-i} + \sum_{j=k}^{2k-2} 2^{jn} \sum_{i=j-k+1}^{k-1} A_i X_{j-i},$$

albo w postaci skróconej

$$AX = \sum_{j=0}^{2k-2} 2^{jn} \sum_{i=\max(0, j-k+1)}^{\min(j, k-1)} A_i X_{j-i}$$

$$\text{gdzie } A_i = \sum_{j=0}^{n-1} a_{ni+j} 2^j, \quad X_i = \sum_{j=0}^{n-1} x_{ni+j} 2^j.$$

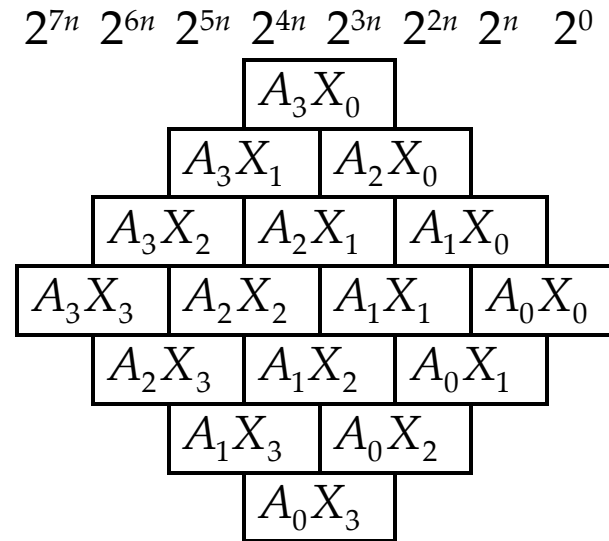
wyrównywanie (*alignment*)

- każdy  $2n$ -pozycyjny iloczyn  $A_i X_{s-i}$  ma wagę  $2^{ns}$

$$(\mathbf{AX})_s = [A_s X_0, A_{s-1} X_1, \dots, A_1 X_{s-1}, A_0 X_s]$$

- efekt – akumulacja  $2k-1$  wielooperandów różnego rozmiaru zamiast  $k^2$  operandów o identycznej wielkości

## Wyrównanie operandów



## Wyrównanie operandów w układzie mnożącym $4n \times 4n$

- w kodzie U2 – niezbędne uwzględnienie rozszerzenia znakowego

efekt – liczba operandów w  $j$ -ej grupie wynosi  $2j+1$  osiągając maksimum  $4k-3$ ,  
 → niweczy to zysk wynikający ze strukturalizacji.

→ przekonstruowanie sumatora wielooperandowego CSA.

## Mnożenie wielokrotnej precyzji

W mnożeniu liczb rozszerzonej precyzji,  $(A_{k-1}A_{k-2}...A_1A_0) \cdot (X_{k-1}X_{k-2}...X_1X_0)$ :

- wszystkie iloczyny  $A_iX_j$  takie, że  $i < k-1, j < k-1$ , są dodatnie i mogą być realizowane jako mnożenie naturalne („mul” w architekturze IA-32)
- pozostałe iloczyny są iloczynami liczb znakowanych i muszą być realizowane jako mnożenie całkowite („imul” w architekturze IA-32).

Mnożenie długich liczb znakowanych (U2)

- najwyższe iloczyny (...  $A_HX_\#$  oraz  $A_\#X_H$ )
  - mnożenie liczby dodatniej przez znakowaną !
  - dodawanie dodatniej i znakowanej !

Rozwiązanie 1:

- przekodowanie na dodatnie (podobnie jak w mnożeniu bez rozszerzeń)
- korekcja (podobnie jak w mnożeniu bez rozszerzeń)

Rozwiązanie 2:

- przekodowanie na wartości bezwzględne
- mnożenie dodatnich i wytworzenie znaku
- przekodowanie iloczynu na kod uzupełnieniowy